

# 破壊靶性を支配する諸因子\*

三 村 宏\*\*

Factors Controlling Fracture Toughness

Hiroshi MIMURA

## 1. 緒 言

鉄鋼材料のねばき脆さを表現する量としてもつとも多く用いられるのはシャルピー衝撃値である。それは簡便さ、再現性のよさとともに古くから普及したという歴史的な理由もある。このためシャルピー試験は鋼材の靶性の指標として研究にも生産の品質管理にも又規格にも用いられてきた。ところが、近年の破壊力学の進歩に伴い、構造物の使用性能の評価のためもつとも適当な量は破壊靶性であるとされるに至つた。現在では、シャルピー試験は単に品質管理試験であり、本質的に重要なのは破壊靶性であると考えられている。ところで、シャルピー衝撃値の遷移曲線を支配する冶金学的要因は従来から十分に調べられており、かつその総合報告も多い<sup>1)</sup>ので本報では省略する。一方、破壊靶性についてのそれは極めて不十分である。ひとつには破壊靶性の試験片の作成および測定がシャルピー試験に比べて著しく手数がかかるためであるが、更には破壊の形式（劈開、剪断、ボイドの連結）応力の3軸度（平面ひずみ、平面応力状態、板厚）ひずみ速度（亀裂の静的または動的発生、伝播、停止）などにより異なる値をとるため破壊靶性と冶金学的因子の関連を調べることは容易ではないからである。

シャルピー衝撃値と破壊靶性の間には広い温度範囲で見ると一応の相関があり、シャルピー試験から破壊靶性の目安は得られる。しかし、延性-脆性遷移温度の近い2鋼種をシャルピー衝撃値と破壊靶性で比較した時、その優劣の判定が逆転することは珍しいことではない。

以上のような事情を考え、本報では破壊靶性とシャルピー試験の特性値の関係について知られていることを述べ、シャルピー衝撃特性を支配する因子と破壊靶性のそれの差について考察を加える。更に破壊靶性を支配している冶金学的因子を直接検討した研究について紹介する。

## 2. 破壊靶性の種類

破壊靶性とは、亀裂の先端領域のひずみと応力を1つのパラメーターで指定した時、このパラメーターが亀裂発生ないし伝播停止時にとる値をいう。亀裂に及ぼす力としては亀裂を亀裂面に垂直に開く型（タイプI）と亀裂面に平行にずらすように働く型（タイプIIおよびIII）があるが、実際の構造物で問題になるのは主としてタイプIであり、本報でもこのタイプに議論を限ることとする。亀裂先端の状態を表わすパラメーターとしては、応力拡大係数( $K$ )、亀裂開口変位量( $\delta$ )、 $J$ 積分( $J$ )が知られており<sup>2)</sup>、そのほか歪エネルギー解放率 $G$ なるパラメーターも用いられる。各々のパラメーターの適用範囲は図1に示すとくであるが、特に低応力破壊の範囲で比べると $K$ 、 $\delta$ 、 $J$ の間に一定の関係があり、1つのパラメーターの臨界値から他のパラメーターの臨界値が推定できる。各破壊靶性の間の関係は、次のとおりである。

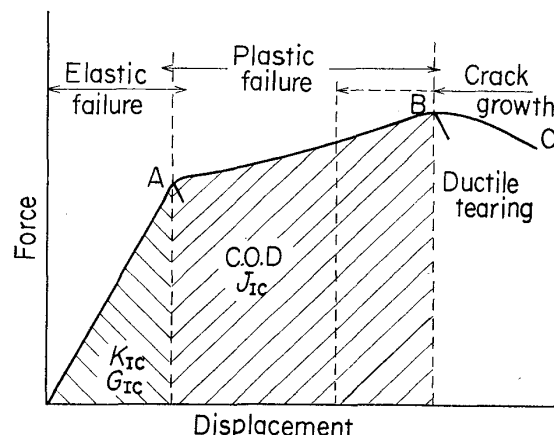


図1 破壊靶性試験における荷重・変位の関係  
A点以下の破壊、 $K_{Ic}$ ,  $G_{Ic}$ を使う。  
A～B間の破壊、COD,  $J$ を使う。  
B以後の破壊、延性破壊。

\* 昭和52年12月5日受付 (Received Dec. 5, 1977)

\*\* 新日本製鐵(株)製品技術研究所 工博 (Products R & D Laboratories, Nippon Steel Corp., 5-10-1 Fuchinobe Sagamihara 229)

$$J_{\text{IC}} = G_{\text{IC}} = K_{\text{IC}}^2/E' = \alpha \sigma_y \delta_{\text{IC}}$$

$\alpha$ : 1 のオーダの数.  $E' = E/(1-\nu^2)$  添字の C は臨界値であることを, 1 は平面ひずみ状態すなわち板厚無限大における値であることを示す. (一般の板厚に対する破壊靱性は 1 をつけず, 例えば  $K_C$  のように書くことにする.) 一般に, 破壊靱性は板厚の増加とともに減少し, ある板厚以上で飽和する. この飽和値を板厚によらない材料固有の特性として欧米では重要視している. また実用的な意味でも構造物中の 3 軸応力度の強い所の亀裂に対してこの飽和値を適用すれば安全側の推定を与えることになる. この飽和値を  $K_{IC}$  とかく.

### 3. 亀裂発生に対する破壊非性

切欠付試験片の亀裂発生様式は試験温度により異なり、低温側から順に次のような領域に分れる。

- (a) 剥離亀裂が切欠先端から直接発生する。
  - (b) 切欠先端から延性亀裂の安定成長があり、延性亀裂の先端から剥離亀裂が発生する。
  - (c) 切欠先端から延性亀裂の安定成長があり、そのうち延性亀裂が不安定に進展する。ここで、不安定な進展とは、亀裂成長に伴なう解放ひずみエネルギーが亀裂生成エネルギーより大きいため現象的には荷重の増加なしでも亀裂が急速に進展する場合をいう。

### 3.1 延性亀裂の破壊靄性

延性亀裂の進展による破壊は超高張力鋼の常温での破壊において通常見られるが、軟鋼においても十分高いコンプライアンスと大きなK値を持つ引張系では生じうることが最近わかつてきた<sup>14)</sup>。

### 3.1.1 板厚效果

延性亀裂の進展のプロセスは以下のとくである。応力の上昇とともに切欠先端の板厚中央部から延性亀裂の緩やかな成長が始まる。この亀裂は板面に垂直に生ずる。一方、板表面近くでは亀裂は  $45^\circ$  の角度で生じ、 $45^\circ$  亀裂のエネルギー ( $G_C(45)$ )の方が垂直亀裂のそれ ( $G_{IC}$ ) より大きいので、延性亀裂を不安定に進展させるには垂直亀裂を生ぜしめるよりもより大きな荷重を必要とする。不安定伝播の開始は従つて次のエネルギー条件を満たす時となる<sup>3)</sup>。(図 2)

$$G \geq G_C = S G_{IC} + (1 - S) G_C(45^\circ) \quad \dots \dots \dots (1)$$

ここで $(1 - S)$ は  $45^\circ$  破面の割合である。 (1)式の改良は、最近、中佐ら<sup>3a)</sup>によりなされている。そのなかで、 $S$  は塑性域寸法と加工硬化指数の関数として与えられている。延性亀裂の生成は塑性ひずみに帰因するので、塑性変形が主として平面ひずみ的か板面に  $45^\circ$  をなす平面応力的かで  $S$  の値がきまると考えてよからう。 HAHN<sup>4)</sup> らによれば、亀裂先端の塑性変形域の寸法が板厚に比べて十分大きい時は平面応力的な塑性変形モードになり、十分小さい時は平面ひずみ的になる。塑性域の寸法と板厚( $B$ )の比を示すパラメータを  $\beta$  とすると、 $K_C$  は<sup>5)</sup>、

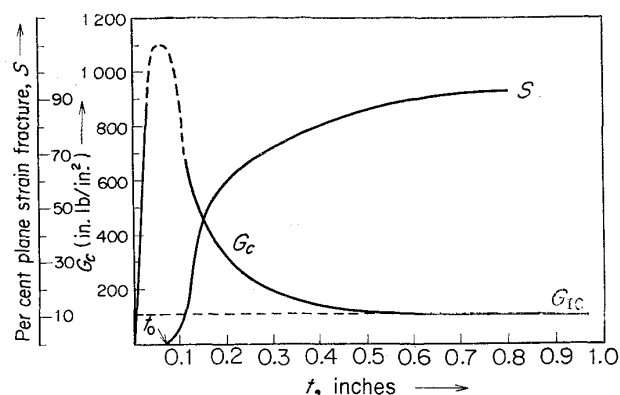


図2 板厚  $t$  の関係としての  $G_C$  と  $S^3$ 。全破面が  $45^\circ$  の時 ( $S=0$ ) は  $G_C$  が板厚とともに増加する。(7075-T6(Al-合金)のデータから。)

$$K_{\text{C}}^{\frac{2}{3}} = K_{\text{IC}}^{\frac{2}{3}} (1 + 1.4 \beta^2) \quad \beta = (K_{\text{IC}} / \sigma y)^2 / B \dots \dots \quad (2)$$

また、ASTM の推奨によれば、 $K_{IC}$  を得るに必要な条件は<sup>6)</sup>

とされている。(2)式中の1.4という数因子は対象材料によつて異なるし、また(3)式は厳しすぎる時とゆるする時がある<sup>6)</sup>。しかし、一応1つのパラメーター  $K_{IC}$  がきまれば任意板厚の  $K_C$  が定まることになる。(3)式により、 $K_{IC}$  を求めるに必要な板厚をきめると、超高張力鋼ではいいとして軟鋼では1m以上の値となり、試験方法としてはなはだ現実的でない。最近  $J_{IC}$  から  $K_{IC}$  を求める試みがなされているが、 $J_{IC}$  を求める際の板厚条件式は、PARIS<sup>1)</sup>によれば

であつて、 $K_{IC}$  に比べて 2 衍弱も薄い板厚でもよいことになる。これは板面に垂直な亀裂の緩成長がボイド形成と連結という同じ機構でなされる限り、緩成長亀裂発生時点の  $K$  が  $K_{IC}$  に相当することを SUMPTER は指摘している<sup>8)</sup>。COD 試験では亀裂の緩成長の始まる時の COD の値を  $\delta_i$  と呼んでいるが、 $\delta_i$  と  $J_{IC}$  が対応することになる。試験片の切欠の延長上に側溝をつけて板厚方向の拘束を大にして実効的に板厚を増した時には、 $\delta_i$  で急な破壊が生ずることを示した GREEN<sup>9)</sup>らの実験もこの解釈に矛盾しない。延性破壊の COD としては、 $\delta_i$  の他に最高荷重における COD の値  $\delta_m$  も考えられるが、後者は試験片寸法に著しく依存するのに対し前者は依存しない材料固有の量である<sup>10)</sup>。

$\delta_t$  は試験温度、ひずみ速度に影響されないとされており<sup>11)</sup>、(図3参照) このことから亀裂発生と伝播に対する破壊韌性は著しく異なることはないと考えられる<sup>11a)14)</sup>。したがつて  $G_C = \sigma_y \delta_C$  とおくと、 $G_C$  は降伏応力のひずみ速度依存性だけの変化を示すことになる。

### 3.1.2 他の機械的性質との関係

$K_{IC}$  は塑性ひずみによって支配されると考えられるの

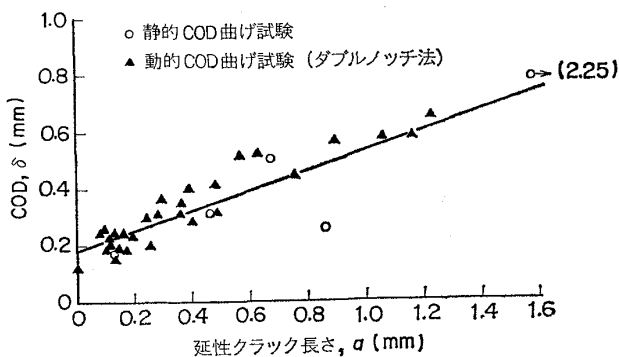


図3 緩成長したクラック長さとCODの関係。クラック長さを零に外挿すると $\delta_i$ が得られるが静的と動的試験で $\delta_i$ の値が同じことを示す<sup>11)</sup>。

で、これを他の単純な機械的性質を用いて表現しようとする試みも多い<sup>12)</sup>。

切欠先端の局所領域のひずみが破壊ひずみ $\epsilon_f$ に達すると破壊が生ずるとして、HAHNらは

$$K_{IC} = \left( \frac{2}{3} E \sigma_y \epsilon_f n^2 \right)^{1/2} \quad \dots \dots \dots \quad (5)$$

を提案している<sup>12)</sup>。それによれば加工硬化指数 $n$ が大きいほど塑性ひずみが分散し、 $\epsilon_f$ に達するにはより大きな $K$ 値が必要となる。ただし、(5)式は定量的には実測値との一致は貧弱である<sup>12a)</sup>。全延性域におけるシャルピー衝撃値は延性亀裂を作るためのエネルギーとして $K_{IC}$ と関係があると考えられる。ROLFE<sup>13)</sup>は統計的な相関として85~180 kg/mm<sup>2</sup>の引張強さの鋼に対して次の関係式を見出している(図4)。

$$(K_{IC}/\sigma_y)^2 = 5[(C_V/\sigma_y) - 0.05] \quad \dots \dots \dots \quad (6)$$

ただし、 $C_V$ はft-lbで表わしたシャルピー衝撃値(全延性)、 $K_{IC}$ と $\sigma_y$ の単位は各々 ksi $\sqrt{\text{in}}$ およびksiである。 $\delta_i$ も全延性破断域の $C_V$ と相関をもつこと<sup>10)</sup>、さらに小笠原<sup>14)</sup>によれば不安定延性破壊の $K_C$ 値が( $R$ 曲線概念を用いて) $\delta_i$ から推定できることが軟鋼について示されている。低強度鋼の実構造物でこの型の破壊を生ずるのはガスピライプラインにおいてであるが、亀裂の発生および伝播停止の $G_C$ は全延性域の $C_V$ から予想できることが実管のバーストテストからも認められている<sup>15)</sup>。

### 3.1.3 破壊靭性を支配する冶金学的要因

$K_{IC}$ 、 $\delta_i$ に及ぼす冶金学的因子の影響としては次のようなものがある。

(a) 破壊靭性は、介在物析出物の少ないほど、また析出物があつても微細で一様に分布しているほど、良好である<sup>3)16)</sup>。

(b) 強度の上昇とともに加工硬化指数が低下し延性が減少するのに対応して破壊靭性は低下する<sup>16a)</sup>(図5)。

(c) オーステナイト結晶粒度にはほとんどよらない<sup>16b)</sup>。

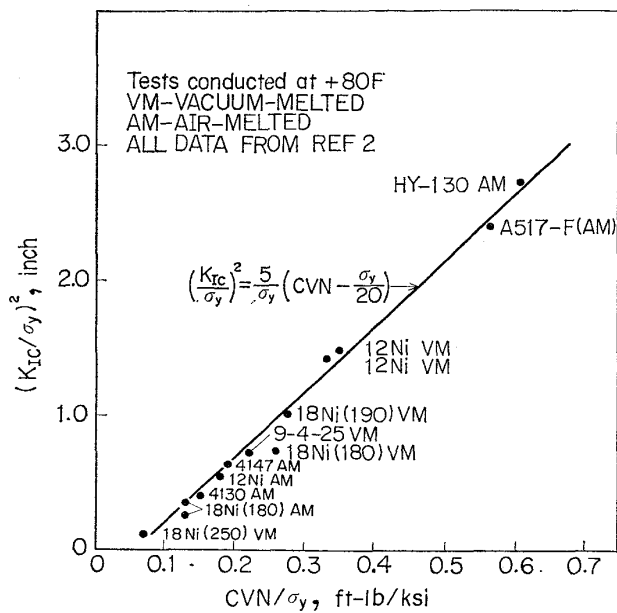


図4  $K_{IC}$ と $C_V$ (upper shelf)の関係<sup>13)</sup>

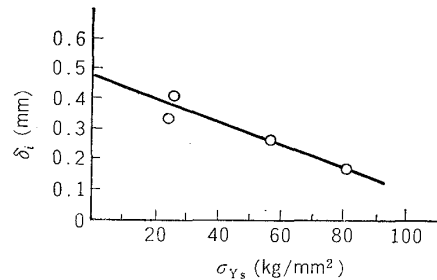


図5  $\delta_i$ の降伏応力依存性  
降伏応力の増加とともに $\delta_i$ は低下する<sup>16a)</sup>

(d) 特別な要因として、制御圧延材の破面に見られる層状われ(Separation)があると破壊靭性は低下する。

特に(d)についてやや詳しく述べる。前にも述べたように低強度の鋼では通常用いられる板厚の範囲では45°破面角度をもつ平面応力状態で破壊が生ずる。平面応力状態では $G_C$ は板厚の減小と共に低下する<sup>3)</sup>(図2参照)。これは板厚の減小とともに塑性域寸法、したがつて塑性変形エネルギーが減小するためである。層状われがある時は実効的に薄板と同じになつて $G_C$ 値も減小する<sup>17)</sup>。Separationは(亀裂先端近傍に発達した板厚方向の応力のため亀裂進行にともなつて)破面の極く近くだけで生ずるが、これが薄板を重ねたのとほとんど同じ効果を持つことが飯野ら<sup>17)</sup>により確められている。

### 3.2 脆性亀裂\*発生の破壊靭性

#### 3.2.1 板厚依存性

脆性亀裂の場合には、伝播に要するエネルギーは極めて低いので、脆性亀裂が局所的に発生すればエネルギー条件はひとりでに満足される。(通常の鋼ではディープノッチ試験で求められる発生の $G_C$ とESSO試験で求

\* 剥離破壊を以後脆性破壊と呼ぶことにする。

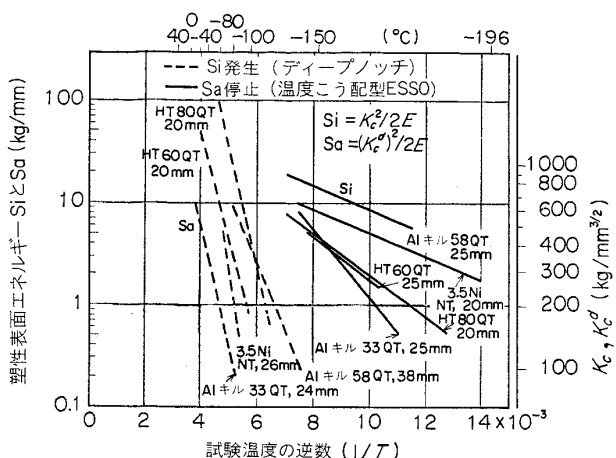


図 6 脆性破壊の発生と停止の破壊靭性の比較  
 $G_c = 2S_i$  (発生),  $G_c = 2S_a$  (伝播)

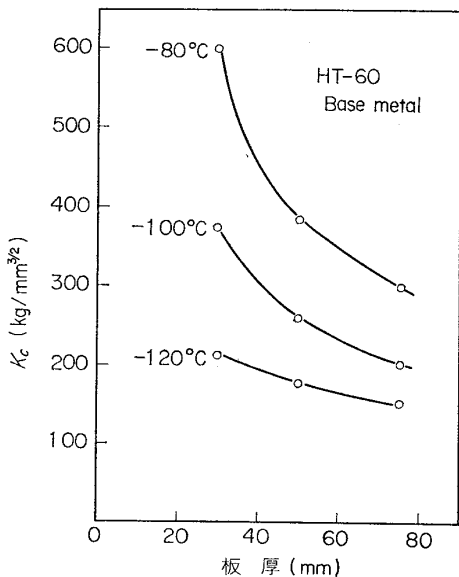


図 7 破壊靭性の板厚依存性の例。(機械切削による減厚)<sup>20)</sup> (2) 式に合せようすると数因子 1.4 をはるかに大きくとる必要がある。切欠は機械切欠。

められる伝播停止の  $G_c$  では同じ温度で比較すると約 2 衍弱も後者が低い(図 6 参照)。脆性亀裂の発生条件は切欠先端の板厚中央部の局所領域が破壊強度に達することであると考えられる<sup>3)</sup>。したがつて破壊靭性の板厚依存性は切欠先端の局所領域の応力 3 軸度に支配される。塑性変形による切欠先端の断面収縮が生ずると板厚方向の応力緩和を生じ 3 軸度は弱まる。応力が降伏点を越えても破面は応力に垂直であり、測定された破壊靭性が  $K_{IC}$  か否かは破面形態からは判断できない。 $K_{IC}$  の測定に必要な板厚は脆性破壊の場合にも(3)式で十分とする考えが一般であるが<sup>18)19)</sup>、さらに厚い板厚が必要であるとする結果もある<sup>20)21)</sup>。たとえ前者でも低強度の鋼では十分低温でない限り  $K_{IC}$  を求めるのは容易でない。

### 3.2.2 シャルピー衝撃値との相関

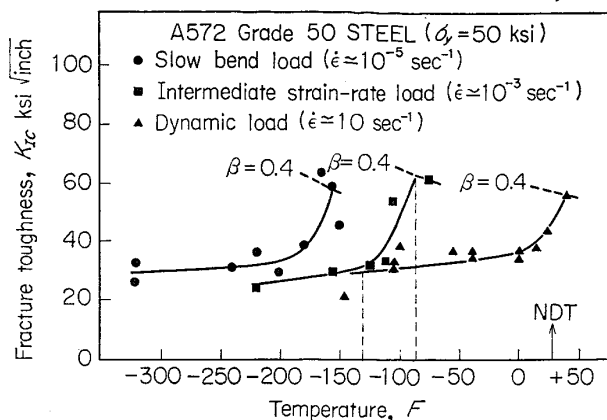


図 8 破壊靭性のひずみ速度による変化<sup>22)</sup>。

このひずみ速度範囲では遷移温度のシフトはほぼ  $\log \dot{\epsilon}$  に比例しているようである。( $\dot{\epsilon}$  はひずみ速度)

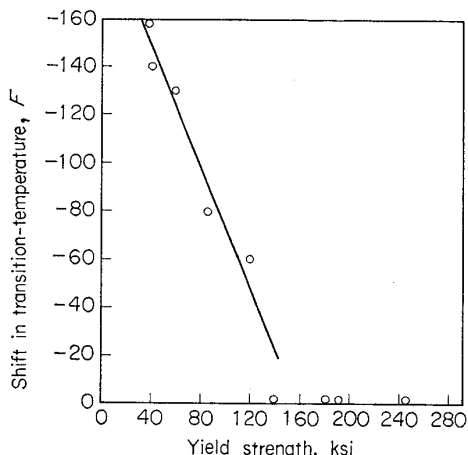


図 9 Slow-bead ( $\dot{\epsilon} \approx 10^{-5}/s$ ) と Impact-load ( $\dot{\epsilon} \approx 10/s$ ) での靭性の遷移曲線間のシフト量と降伏応力の関係<sup>22)</sup>。

BARSOM<sup>22)</sup>によると疲労亀裂つきシャルピー試験片の衝撃値と  $K_{IC}$  はよい相関を示す。静的曲げ(ひずみ速度:  $\sim 10^{-5}/s$ )と衝撃曲げ(ひずみ速度  $\sim 10/s$ )を行ない、同一温度、同一ひずみ速度で比較し、これから V ノッチシャルピー衝撃値と  $K_{IC}$  の間に

$$K_{IC}^2/E(\text{psi-inch}) = 5C_V(\text{ft-lb}) \dots\dots\dots (7)$$

なる関係を提案している。またひずみ速度の変化に伴う  $K_{IC}$ (図 8 参照)または  $C_V$  の遷移温度の移動( $T_{shift}$ )は、シャルピー試験でも  $K_{IC}$  試験でも同じであつて、次式で与えられる(図 9)。

$$T_{shift}(^{\circ}\text{F}) = 215 - 1.5\sigma_y(\text{ksi}) \dots\dots\dots (8)$$

COD とシャルピー衝撃値の関係についても上とほぼ同様な関係が萩原ら<sup>23)</sup>によって示されている。

$$\delta_{C,T=T^0}(\text{mm}) = 0.02C_V(T=T^0 + \Delta T)(\text{kg-m}) \dots (9)$$

$$\Delta T(^{\circ}\text{C}) = 120 - \sigma_{y0}(\text{kg/mm}^2) - 5(\sqrt{B(\text{mm})} - \sqrt{20})$$

その他にも同様な関係が笠松ら<sup>24)25)</sup>により発表されている。ただし笠松らは降伏応力ではなく降伏比を含む関係式を提案している。要約すれば、シャルピー衝撃値の遷

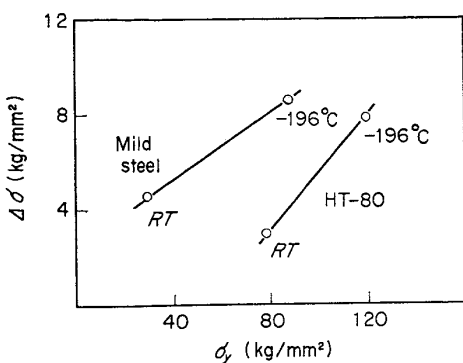


図10 変形応力のひずみ速度依存性： $\Delta\sigma$  はひずみ速度  $2 \times 10^{-2}/\text{s}$  における変形応力と  $2 \times 10^{-5}/\text{s}$  のそれとの差<sup>26)</sup>。

移温度は同じでも降伏点の低い鋼ほど破壊靶性は低温まで良好な値を示す。

それでは、このような関係は何に帰因するのであらうか？シャルピー試験と破壊靶性試験の差はノッチの鋭さひずみ速度及び計測量の3点にある。

BARSOM の結果(8)式にしたがえば、シャルピー衝撃値と破壊靶性の関係の強度依存性は主として遷移温度に及ぼすひずみ速度の影響の強度依存性に帰因することになる。破壊靶性のひずみ速度依存性は主に変形応力のひずみ速度依存性によると考えられるが、軟鋼と高張力鋼で変形応力のひずみ速度依存性を調べた所では大きな差は認められない<sup>26)</sup>(図10)。変形応力の変化を絶体値との比で表わせば、もちろん高張力鋼の方が低い。

もう一つの見方は金沢<sup>27)</sup>らによるもので、シャルピー衝撃値と破壊靶性の関係は主として破面遷移温度と応力遷移温度の差の強度依存性によるとしている。まずVノッチシャルピー試験片のエネルギー遷移温度  $vT_{rE}$  は破面遷移温度  $vT_{rs}$  とほぼ等しい。なぜならば、シャルピー衝撃値の主要な部分は延性亀裂発生後に吸収されるエネルギー（延性亀裂の伝播エネルギー）であるので、吸収エネルギーは延性破面率にほぼ比例するからである。さらに破面遷移温度  $T_{rs}$  は試験条件（切欠鋭さ、ひずみ速度など）には比較的鈍感である<sup>\*27a)</sup>。破面遷移領域では脆性破壊の発生は進展する延性亀裂先端から行なわれるため試験条件の大きな差異が  $T_{rs}$  の上では緩和される方向にあることは理解されよう。また、破面遷移温度と脆性破壊発生温度（破壊靶性がある値をとる温度）の差は強度に依存することはディープノッチ試験の結果でもよく知られた所である。要するに  $C_V, vT_{rE}, vT_{rs}, \delta T_{rs}, \delta T_{\delta_c=\delta_0}$  の次々の相関のうちの最後の2特性温度間の相関が(9)式を説明する主要な部分となつている。(ただし  $\delta T_{rs}, \delta T_{\delta_c=\delta_0}$  はそれぞれ破壊靶性試験、たとえば COD の破面遷移温度と脆性破壊発生温度である。)この2特性温度の差の強度依存性は“R曲線”概念によ

\* ただし粒界破壊を生ずる時はより鋭敏になる<sup>27)</sup>。

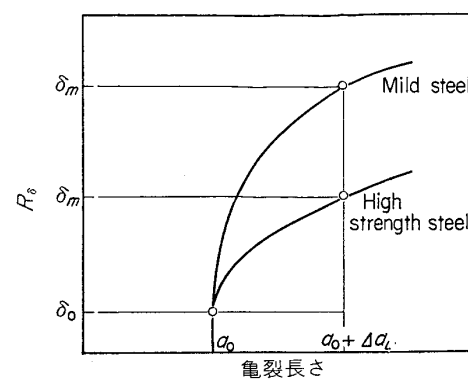


図11 軟鋼と高張力鋼のRカーブ

$R_\delta$  : COD で表わした R カーブ,  $a_0$  : 初期亀裂長さ,  $\Delta a_L$  : 試験片の破断面長さ,  $\delta T_{\delta_c=\delta_m}$  破面遷移温度。  
( $\delta$  が  $\delta_m$  に達する迄脆性破壊の発生がなければ 100% 延性破断となる。)

り定性的には次のように説明されうる(図11)。軟鋼では加工硬化指数が高く(5)式でわかるごとく  $K_{IC}$  または  $\delta_i$  が高い。 $\delta_i$  が高いと R 曲線も高い  $\delta$  値で飽和する<sup>14)</sup>。試験片の破断面長さの亀裂進展に対応する COD を  $\delta_m$  とするとこれが  $\delta T_{rs}$  の COD である。脆性破壊発生温度をきめるため仮定した COD を  $\delta_0$  とすると  $\delta_0$  と  $\delta_m$  の差が軟鋼では大きい。したがつて ( $\delta_c$  の温度依存性が鋼材によりあまり変わらないとすると)  $\delta T_{\delta_c=\delta_0}$  と  $\delta T_{\delta_c=\delta_m} = \delta T_{rs}$  の差が大きいことになる。つまり  $\delta T_{\delta_c=\delta_0}$  と  $\delta T_{rs}$  の差は加工硬化指数(又は降伏比)依存性をもつと言うべきなのかも知れない。降伏比は調質鋼、析出硬化鋼ほど大きく結局強度の高い鋼ほど大きい。

以上 BARSOM の結果による解釈と金沢らの考え方のいずれによればその現象をよりよく説明し得るかを決めるためには今後データのつみかさねが必要とされる。

### 3.2.3 破壊靶性を支配する冶金学的因子

脆性破壊の破壊靶性を表現するものとして適当な量は何かという問題をまず考えて見よう。欧米流に  $K_{IC}$  がよい指標であることは疑問である。低強度の鋼では通常の使用温度領域で  $K_{IC}$  を求めるには非常に厚い試験材を必要とするし、また通常製造される板厚で  $K_{IC}$  を求めるには非常に低温で試験する必要がある。また、このような破壊靶性の遷移曲線の下の棚に対応する低温で  $K_{IC}$  を求めても靶性の良否を反映していないおそれがある。事実、S含有量の効果<sup>30)</sup>(図12)、焼戻靶性の効果<sup>32)</sup>(図13)、フェライト粒径の影響(図14)は  $K_{IC}$  にほとんど現われないといわれている\*。靶性の良否は、シャルピー試験値との比較の項で述べた如く、ある板厚での破壊靶性が増加し始め(ある値をとる)温度で判断すべきであろう。

さて靶性を支配する冶金学的因子のうちでもつとも基

\* オーステナイト粒径への依存性は中炭素鋼の焼入焼戻材について調べられ  $K_{IC}$  はやや複雑な粒度依存性を示すとされている。<sup>28)</sup>

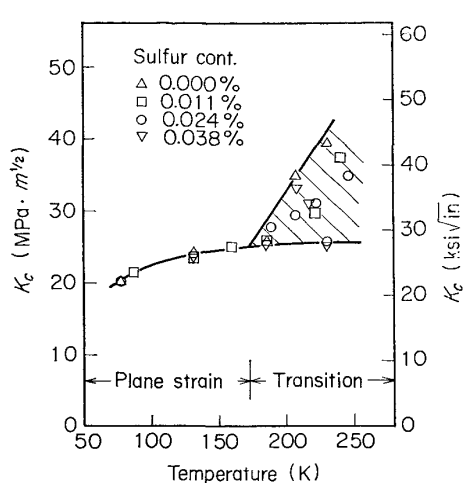


図12  $K_C$  に及ぼす S 含有量の影響<sup>30)</sup>.  
材料は 0.07C-0.25Mn 鋼

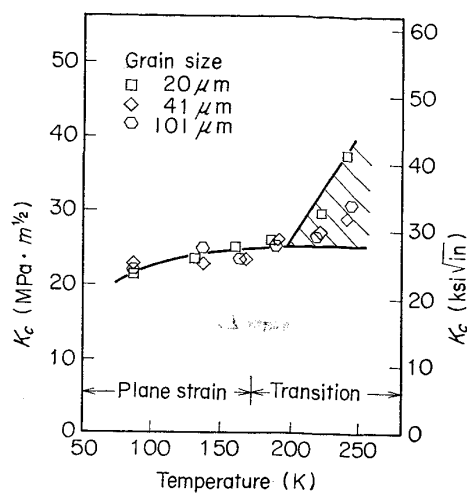


図14  $K_C$  に及ぼす結晶粒径の影響<sup>30)</sup>.

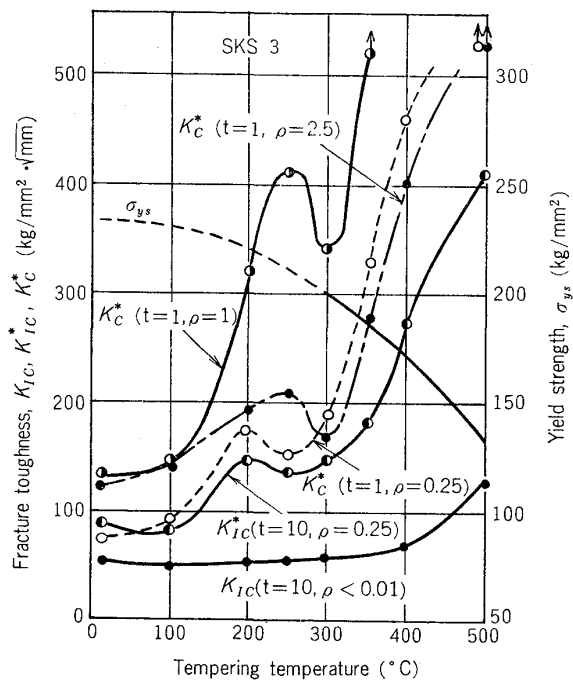
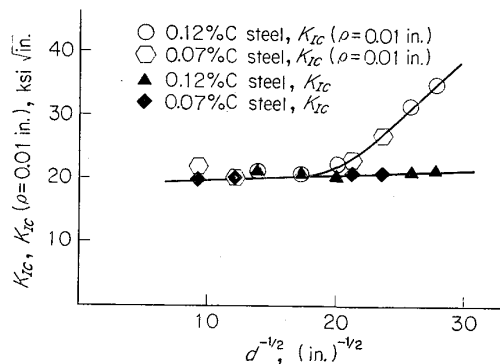


図13 低温焼戻し脆性で脆化した鋼の  $K_C$ <sup>32)</sup>.  
 $t$  は板厚,  $\rho$  は先端径,  $K_C$  に見られる 300°C 付近の焼戻による脆化は  $K_{IC}$  には認められない.

本的なものは結晶粒径であるとされている<sup>1)</sup>. これはシャルピー衝撃試験からの結論である. しかし、上に述べたように完全革性破壊域では  $K_{IC}$  は結晶粒径に殆んどよらない<sup>23)~30)</sup>(図15). 切欠先端径が大きくなつたり、またより高温になると粒度依存性を示すようになる. 飯野らによる軟鋼の切欠付引張試験では低応力破壊温度域の上限 ( $T_{RL}$ ) の粒度依存性は  $vT_{rs}$  の粒度依存性より低い<sup>1)31)</sup>. さらに大森ら<sup>33)</sup>によれば、シャルピー試験片の大の COD 試験片で  $\delta_c$  が 0.1 mm となる温度は明らかに結晶粒度依存性を示す. その依存性は  $vT_{rs}$  の粒度依存性<sup>34)</sup>と同程度である. 大森らは、結晶粒度依存性は見掛けのもので本質的にはパーライト・コロニー径依存性であるとして、 $\delta_c$  が 0.04 mm, 0.1 mm, 0.4 mm となる温度のパーライト・コロニー径依存性を調べ、フェライト粒度で整理すると炉冷、空冷材が異なる関係を示すのがパーライト・コロニー径で整理すると唯一一本の直線にのるとしている(図16). なお  $\delta_c$  の大きい値に対応する特性温度ほど粒度依存性は大きくなつていて. 焼入組織について  $vT_{rs}$  同様破面単位(有効結晶粒径)によって整理され  $\delta_c$  が 0.2 mm となる温度は  $vT_{rs}$  と同じ粒度依存性を示すとされている<sup>33)</sup>(図17). ひずみ速度の影響、Ni, Mn 添加の効果も同時に調べられ<sup>33)</sup>, 速いひずみ速度において  $\delta_c$  の遷移温度を改良するには Ni の添加が有用であることを示している.

図15 軟鋼の -196°C における  $K_{IC}$  の粒度依存性<sup>28)</sup>.  
白抜きの点は有限先端径( $\rho$ )の試験片による.  
 $d$  は粒径.



冷間加工の影響として<sup>31)</sup> 30% の圧延により低応力破壊域の  $K_C$  は僅かに増加する ( $K_C$  が一定の値をとる温度はわずかに下降する) が  $T_{RL}$  は大幅に上昇するという結果になつていて. 破壊革性の遷移温度のきめ方によつて評価が逆になる側である. (要するに冷間加工の影響は顕著ではない.)

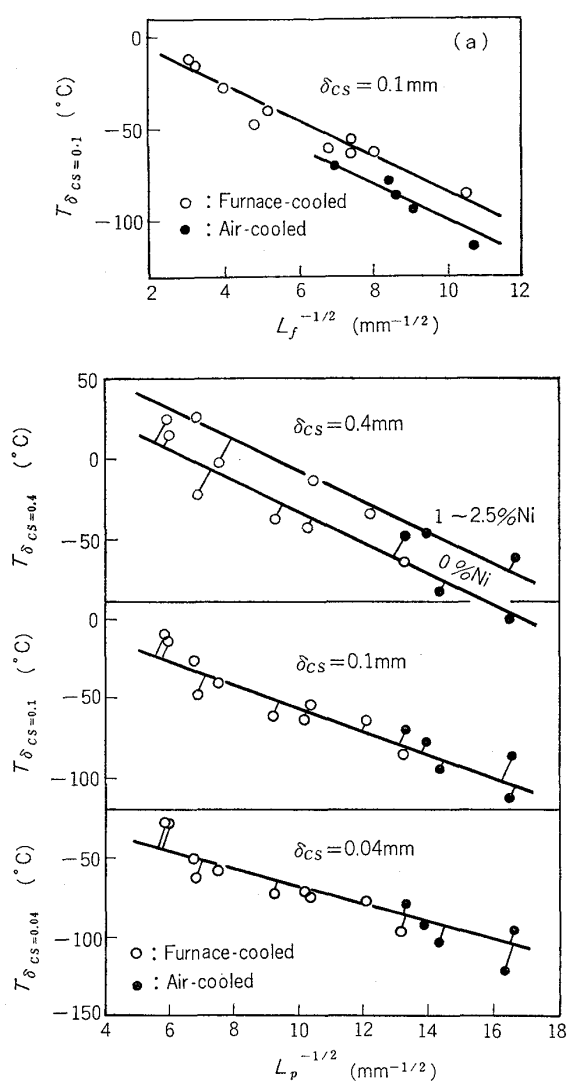


図16 COD遷移温度のフェライト粒径( $L_f$ )とパライトコロニー径( $L_p$ )依存性<sup>33)</sup>。

PICKERING<sup>34)</sup>によるシャルピー衝撃試験遷移温度の $L_f$ 依存性が $-11.5L_f(\text{mm})^{-1/2}\text{°C}$ であるとの比較されたい。

#### 4. 龜裂伝播に対する破壊靭性

亀裂伝播の $K_{IC}$ 値は極めて高いひずみ速度における亀裂発生の $K_{IC}$ 値と同等と考えられる<sup>35)</sup>。すなわち速度 $V$ の伝播亀裂と $dK/dt$ で引張をうける停止亀裂は下の

表1. 脆性破壊発生温度および停止温度の板厚1mmにたいする変化率(°C/mm)<sup>36)</sup>

試験法 特性	板厚(mm)		0.8~3.2	10~30	30~150	150~200
	発生	停止	(圧延) 8.5	(機械) 0.9	(圧延) 0.17	(圧延) 0.52
Deep notch test						
温度勾配型 二重引張試験 ESSO試験				(圧延) 3.0 (機械) 1.5		(圧延) 0.2

(註) (圧延)=圧延による減厚、(機械)=機械切削による減厚

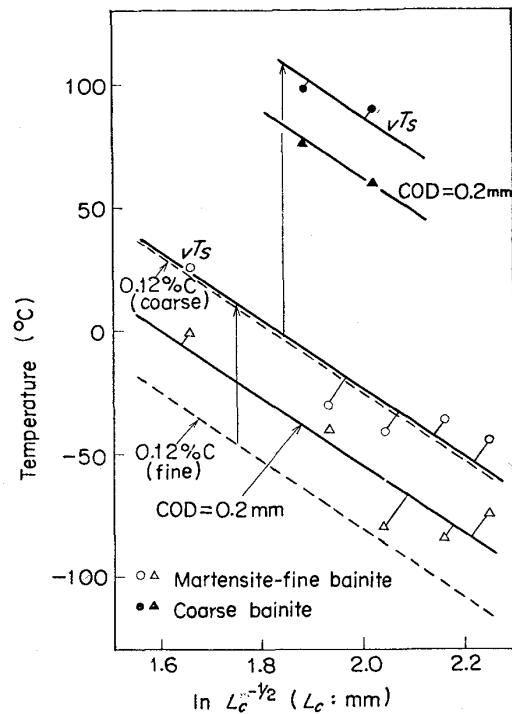


図17 破面単位と靭性の関係<sup>33)</sup>。  
 $L_c$ は破面単位、○は $vTrs$ 、△はCOD遷移温度、Ni-Cr-Mo鋼 10.16%C) 点線は別途試験した鋼材の $vTrs$ 。

条件を満たす時は同等と考えるのである。

$$V = \frac{2r}{K_{IC}} \cdot \frac{dK}{dt} \quad \dots \dots \dots (10)$$

ここで $r$ は塑性域の大きさ程度の長さである。脆性亀裂の場合は図8に見るごとく $K_{IC}$ は著しく歪速度によるので伝播の破壊靭性は発生のそれに比べ非常に低い(図6参照)。

#### 4.1 脆性亀裂伝播停止の破壊靭性

##### 4.1.1 板厚効果

表1に池田<sup>36)</sup>による脆性破壊発生と伝播停止の $K_{IC}$ の板厚依存性の比較を示す。亀裂先端の塑性拘束は、本来、発生と伝播で同じか、あるいはひずみ速度の違いによる $\sigma_y$ の差を考えると((2)式参照)発生の $K_{IC}$ の方が板厚依存性は大きいように思われるが、実際には伝播停止のそれの方が大きい。なぜならば有限板厚の板を亀裂が

進行する時亀裂の先端は放物線をなすからである。すなわち、板厚中央近くは塑性拘束が厳しく、また冶金的にもより脆い組織であることが多いので亀裂は板の中央が先行するのである。このように表面層のねばい部分を伴つて亀裂が伝播するため  $K_c$  は増大する。（亀裂発生の  $K_c$  は板厚中央部の革性に支配されるので表面層の影響は少ない。）表面の影響は板厚の厚い場合は相対的にその影響が少なく、その結果として、薄い板厚での伝播の  $K_c$  の板厚依存性が著しくなるのである。

#### 4.1.2 衝撃革性との関係

越賀<sup>37)</sup>によれば、プレス・シャルピー試験の破面遷移温度 ( $\rho T_c$ ) における  $K_c$  値は鋼材によらずほぼ一定である。（ただし  $K_c$  値は板厚によって異なるので一定板厚の  $K_c$  値を比較しなければならない。また板厚方向に革性分布のある鋼板では脆い板厚中央部から切出して求めた  $\rho T_c$  での  $K_c$  値は通常鋼のそれより高い。）

$\rho T_c$  が伝播停止の破壊革性と相関がよいのは次の理由による。プレス・シャルピー試験片の切欠は歯形の圧入により与えられる。この強加工により切欠底部は脆化し衝撃荷重により脆性亀裂が発生する。この脆性亀裂は進行するにつれプレスの影響のない部分に伝播し停止する。停止するのは亀裂の伝播に伴う荷重低下と表面層がねばいため亀裂進行に抵抗するための境界効果である。シャルピー試験のように小形試験では境界効果が大きすぎて  $K$  値を計算することは難しいが、 $\rho T_c$  温度における亀裂停止の形態が同じならその時の  $K$  値も同じと考えることができよう<sup>37)</sup>。しかしプレス・シャルピー試験は次の点で不都合である。まずプレスによる加工の影響が試料断面をおおう可能性がある<sup>38)</sup>。特に加工硬化の大きい軟鋼で然りである。次に板厚方向に不均一な革性を有する鋼板の板厚の一部から切出したシャルピー試験片を用いることも不都合である。この点を考慮すると  $\rho T_c$  より DWTT の破面遷移温度の方が  $K_c$  との対応を見る上ではすぐれている<sup>39)</sup>。DWTT では原板厚のまま試験するし、またプレスによる影響を除くため切欠直下の脆化部分は破面率の測定から除外している。さらに脆性破壊発生の  $K_c$  が伝播の  $K_c$  に比べて非常に高い鋼では、プレスによる脆化では不十分であり、切欠底から延性亀裂が発生し進展した後で脆性破壊に転化する現象が見られる。その時は溶接熱影響で脆化した上にプレスで切欠をつけると切欠底から直接脆性亀裂が発生するようになる。前に述べたプレス・ノッチシャルピー試験の考え方から、切欠から直接脆性亀裂の発生する場合には破面遷移温度における  $K_c$  値は鋼種によらずほぼ一定であることが予想され、事実そうであることが溶接熱によって脆化した切欠を用いた場合に示されている<sup>39)</sup>。要するに DWTT を適正にやればその破面遷移温度 (DWTT  $T_{rs}$ ) は亀裂停止温度 ( $T_{K_c=K_{co}}$ ) とよい対応をもつ。DWTT  $T_{rs}$  と  $\nu T_{rs}$  の差は前者が脆性亀裂の停止条件に支配されて

いるのに対し、後者が延性亀裂から脆性亀裂への転化に支配されている点にある。しかし、実際には DWTT  $T_{rs} \leftrightarrow \rho T_c \leftrightarrow \nu T_{rs}$  の相関が認められ、 $\nu T_{rs}$  のよい鋼は亀裂停止の破壊革性もよい傾向はある。ただし、この相関関係から数十度もずれる鋼種（例えば  $\rho T_c \leftrightarrow \nu T_{rs}$  相関関係における AI キルド細粒軟鋼）もある。 $\nu T_{rs}$  には亀裂発生特性も関与していると予想されるが、どのような機械的特性をもつ鋼種がこの相関からはずれるか明らかではない。

#### 4.1.3 破壊革性を支配する冶金学的因素

亀裂伝播停止の  $K_c$  を支配する因子としては次のようなことが知られている。

(a) フェライト粒径： $K_c$  が特定の値 ( $K_{co}$ ) をとる温度の粒度依存性は  $K_{co}$  の値が大きいほど大きい。 $K_{co} = 600 \text{ kg/mm}^{3/2}$  の遷移温度の粒度依存性は  $\nu T_{rs}$  のそれとほぼ等しい<sup>33)</sup>。

(b) Ni の添加により  $K_c$  の遷移温度は低下する<sup>1)</sup><sup>33)</sup><sup>40)</sup>。このことは Ni 添加材の亀裂発生の  $K_c$  のひずみ速度依存性および(10)式から予想される所である。

(c) 層状われ：3.1.3 で述べたように層状われはあるかも薄板積層板のような効果を示す。これによつて脆性破壊の場合は破壊革性が向上する。特に、伝播停止特性の板厚依存性が強いことから DWTT  $T_{rs}$  を目安とする伝播停止の  $K_c$  値の向上に有効である<sup>17)</sup>。

### 5. 溶接継手部の破壊革性

溶接継手部の破壊革性を支配する要因は母材のそれに加えて(a)残留応力、(b)革性の不均一な分布、が重要な役割を果している。

#### 5.1 溶接継手部の脆性破壊発生の破壊革性

脆性破壊の発生には切欠先端における局所的な脆化が支配的な影響をもつと考えられる(3.2.1 参照)。溶接継手部でもつとも脆化している部分は母材が溶着鋼に接するいわゆるボンド部である。板厚貫通亀裂がこのボンド部にそつている場合と亀裂が板厚中央部でこのボンド部を横切つている場合で破壊革性がどのように異なるかが池田らによつて調べられた<sup>41)</sup>。その結果によると両者に差が認められなかつた(図18)。この点が伝播の破壊革性と異なる所で伝播は板厚方向の全部位の革性がきくのに対し発生は局所的脆化がきくのである\*。

溶接残留応力はそれをひずみゲージで計測し破壊力学の公式により破壊革性の（見かけの）値に及ぼす影響を計算できるが<sup>42)</sup>、さらに注意すべきは厚板を多層溶接する場合には板表面で引張残留応力、板厚中央で圧縮残留応力が生成することである。その効果のため破壊発生は板厚中央でなく板表面近くでおこり、さらにその結果として破壊革性の板厚依存性が明瞭に現われないことが金

\* 必ずしも一般に認められた考でなく、発生にも板厚全体の特性が効くとする意見もある。

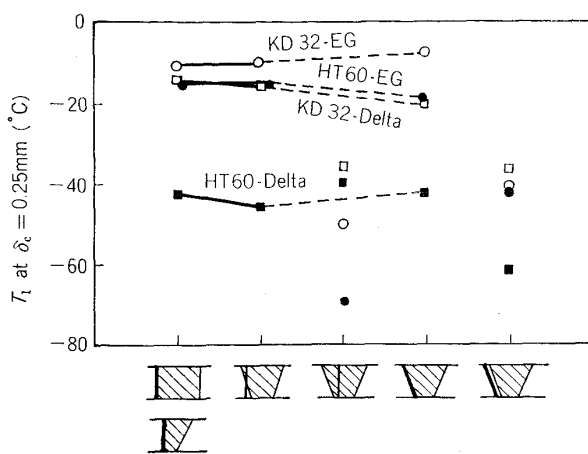


図18 溶着鋼（斜線を施した部分）に対し種々の位置に切欠を入れた場合の COD が 0.25 mm となる温度<sup>41)</sup>.

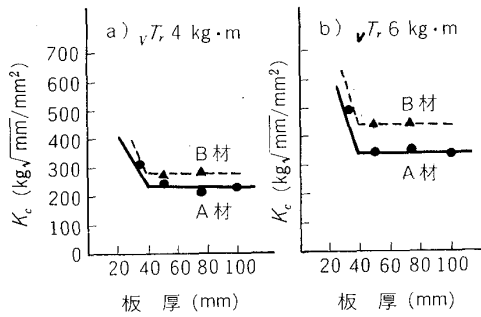


図19 一定の吸収エネルギーを示す温度での  $K_c$  値と板厚との関係<sup>20)</sup>.

A材 HT-60 B材 HT-80

$K$  開先溶接継手のボンド一部に貫通機械切欠を入れた時の  $K_c$  値。試験温度は継手シャルピー衝撃値が 4 又は 6 kg·m となる温度である。(図 7 と比較せよ)

沢ら<sup>20)</sup>により報告されている(図19)。

## 5.2 溶接継手部にそつた亀裂伝播の破壊非性

大入熱溶接継手の広幅引張試験では、試験条件によつては、亀裂は溶接線に沿つて伝播するので溶接継手の特にボンド部の伝播に関する破壊非性が求められる。例えば HT-50 をエレクトロガス溶接のような大入熱溶接法で溶接するとボンド部の継手シャルピー試験の遷移温度や脆性破壊発生の破壊非性の遷移温度は母材に比べ 100 °C 近くも上昇する。しかし伝播停止の  $K_c$  値は母材のそれとあまり変わらない<sup>43)</sup>。この一見極めて奇妙な現象は次のようにして説明される<sup>44)</sup>。脆性亀裂は、溶接残留応力のためその進路をまげ、溶接線から逸脱しようとする傾向をもつている。亀裂が健全な母材部に伝播するとその高い破壊非性により停められる。ボンド部は脆化しているため、亀裂が再発生するが、この亀裂もただちに母材側に伝播しようとする。その結果、亀裂はボンド部内で分岐を繰り返しながら巨視的には溶接線に沿つて伝播する。したがつて巨視的には亀裂がボンド部で伝播を停止する。

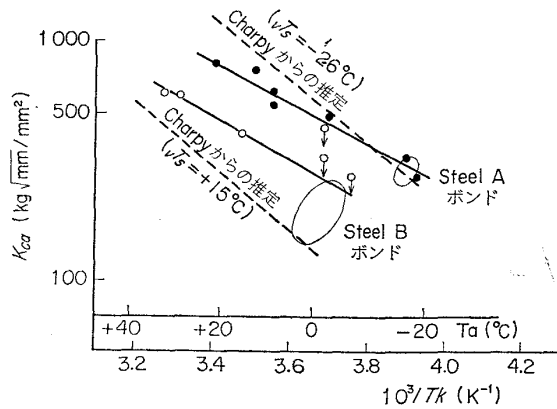


図20 残留応力を除去した溶接継手のボンド部にそつて伝播する亀裂の伝播停止の破壊非性 (ESSO テスト)<sup>45)</sup>.

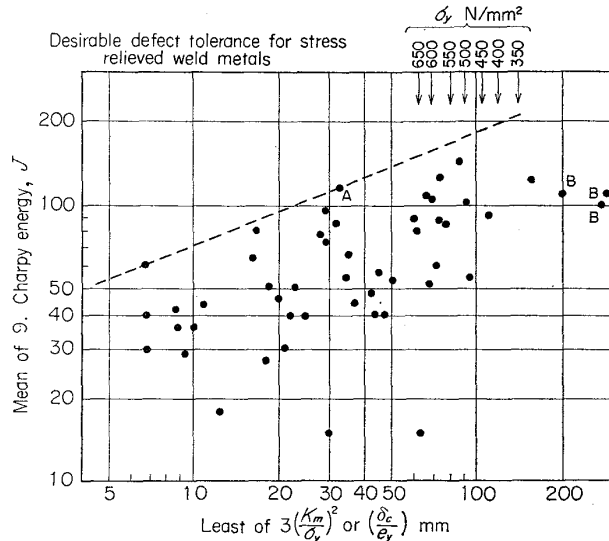


図21 HT-50(63 mm) の溶着鋼の破壊非性と  $C_v$  の比較溶着鋼は S R されている。試験温度は -10 °C<sup>46)</sup>.

しても、実際に亀裂を停めているのは母材の高い破壊非性であり、停止条件はボンド部で亀裂が再発生しないことである。このため計測される  $K_c$  値はボンド部材質自体の非性より遙かに大きくなっている。残留応力を除去すると亀裂の分岐も見られなくなるし、また  $K_c$  値も溶接継手シャルピー試験の  $vT_{rs}$  から期待される程度の値が測定される<sup>45)</sup>(図20参照)。

## 5.3 シャルピー衝撃値との相関

溶接金属の破壊非性とシャルピー衝撃値との相関は母材のそれに比べて極めて悪い。図 21 は HARRISON<sup>46)</sup>によるものであるが、S R 後の溶着鋼の破壊非性とシャルピー衝撃値には有意の相関を認めがたいことを示している。これは溶着鋼では、成分および熱履歴が各部分で異なり、そのため切欠先端位置のわずかな違いにより非性が大きなバラツキを示すため\* であろう。

\* この様な意味でのバラツキは切欠先端の鋸い（したがつて被測定領域が極度に限定される）破壊非性試験では特に大きいと考えられる。

## 6. おわりに

以上述べてきたように破壊革性を支配する冶金学的要因に関する研究例は多くはない。しかも冶金の常として1つの要因を変えると屢々他の要因も同時に変化し各々を独立に変化させることが難かしい場合が多い。そのためある結論を確立するまでには数多くの実験が必要とするであろう。さらにその際得られた破壊革性が見かけの値か本質的な値か、革性を表わす良い目安になるための条件を満たしているか否かの検討が重要になってくる。今後そのような研究を効率的に進めるために本報文が少しでも参考になれば幸である。

### 付記 用いた記号の説明

#### (1) 破壊革性

切欠先端の状態を表わすパラメーター	破壊革性(*)	平面ひずみ状態の破壊革性
$K$ : 応力拡大係数	$K_C$	$K_{IC}$
$G$ : 歪エネルギー解放率	$G_C$	$G_{IC}$
$\delta$ : 亀裂開口変位量, COD	$\delta_c, \delta_i, \delta_m$	$\delta_{IC}$
$J$ : $J$ 積分	$J_c$	$J_{IC}$

\* 破壊革性の呼び方は、添字Cのある時は切欠先端の状態を表わすパラメーターの名前の前に臨界を、添字Iのある時は平面ひずみをつける。例えば  $K_{IC}$  は臨界平面ひずみ応力拡大係数と呼ぶ。 $\delta_i$  は緩成長亀裂の発生時のCOD,  $\delta_m$  は曲げ試験で(最初の)荷重最高点でのCODであつて、脆性破壊の時は通常これを  $\delta_c$  とする。

#### (2) 遷移温度

$vT_{rs}$ : Vノッチ・シャルピー衝撃試験の破面遷移温度

$vT_{rE}$ : 同上のエネルギー遷移温度

$vT_C$ : プレスノッチ・シャルピー衝撃試験の破面遷移温度

DWTT  $T_{rs}$ : DWTT の破面遷移温度

$vT_{rs}$ : COD 試験での破面遷移温度

$vT_{\delta_0=\delta_0}$ :  $\delta_C$  が  $\delta_0$  になる温度

$T_{rL}$ : 広幅引張試験での低応力破壊遷移温度

$T_{K_C=K_{CO}}$ :  $K_C$  が  $K_{CO}$  になる温度

$T_{rs}$ : (種々の試験での) 破面遷移温度

#### (3) その他

$C_V$ : Vノッチシャルピー衝撃吸収エネルギー

$\sigma_y$ : 降伏点

$\nu$ : ポアソン比

$E$ : ヤング率

$B$ : 板厚

### 文 献

- たとえば、三村 宏: 鉄と鋼, 58(1972), p. 1822  
井上 泰: 西山記念技術講座, 36・37 “厚鋼板の材質上の諸問題” (1975)
- 金沢 武: 鉄と鋼, 本特集号, 破壊力学に関する解説
- A. S. TETELMAN, et al.: “Fracture of Structural Materials” John Wiley & Sons (1967)
- 中佐啓次郎, 他: 鉄と鋼, 62(1976), p. 1523
- G. T. HAHN, et al.: Acta Met., 13 (1965), p. 293
- G. R. IRWIN: Trans. AIME. J. Basic. Engng. Series, 82(1960), p. 417
- M. H. JOHNES, et al.: ASTM, STP, 463 (1970), p. 63
- P. C. PARIS: ASTM STP, 514(1971), p. 21 (Discussion)
- J. D. G. SUMPTER: Metal Science, 10 (1976), p. 354
- G. GREEN, et al.: Metal Technology, 2(1975), p. 422
- G. D. FEARNEHOUGH, et al.: “Practical Application of Fracture Mechanics to Pressure Vessel Technology” (London) (1971)
- S. KANAZAWA, et al.: 3rd International Conference on Fracture 3 II 232 (1973) Munich
- 越賀房夫, 他: 鉄と鋼, 61(1975), S 751
- J. M. KRAFT: Applied Materials Research, 3 (1964), p. 88  
G. T. HAHN, et al.: ASTM STP, 432(1969), p. 5
- M. H. JONES and W. F. BROWN, Jr.: NASA TMX-1860, August (1969)
- S. T. ROLFE and S. R. NOVAK: ASTM STP, 463(1970)
- 小笠原昌雄, 他: 鉄と鋼, 本特集号
- W. A. MAXEY: AGA “5th Symposium on Line Pipe Research” J-1 (1974) Houston
- A. T. ENGLISH and W. A. BACKOFEN: “Fracture, 1(1968), p. 33 Academic Press. New York
- W. S. PELLINI, et al.: NRL Report-6300 (1965), 金沢武, 他: 日本造船学会論文集, 138 (1975), p. 471
- 河部義邦, 他: 鉄と鋼, 60(1974), p. 269
- M. IINO, et al.: Trans. ISIJ, 17(1977), p. 450, ibid. 18 (1978) p. 33
- W. G. CLARK Jr. and E. T. WESSEL: ASTM STP, 463(1970), p. 160
- 大塚昭夫, 他: 日本造船学会論文集, 142(1977), p. 145
- 金沢正午, 他: 鉄と鋼, (1975), S 745
- 萩原行人, 他: 鉄と鋼, (1977), S 759
- J. M. BARSOM: U.S.-Japan Cooperative Science Seminar (1974) Sendai
- 萩原行人, 他: 溶接学会誌, 45(1976), p. 627
- 笠松 裕, 他: 溶接学会誌, 44(1975), p. 499
- 長谷部茂雄, 他: 溶接学会誌, 44(1975), p. 77
- 飯野収夫: 未発表
- 金沢正午, 他: 鉄と鋼, 本特集号
- M. IINO, et al.: Trans. JIM, 11 (1970), p. 3
- S. ENSHA: Ph. D. Theses (1974) Univ. of California
- D. A. CURRY and J. F. KNOTT: Metal Science, 10(1976), p. 1
- W. L. PHILLIPS: Met. Trans., 4(1973), p. 388

- 
- 31) M. OGASAWARA, M. IINO, and H. MIMURA: Trans. JIM, 13(1972), p. 6, ibid., 12(1971), p. 296
  - 32) 中佐啓次郎, 他: 日本金属学会誌, 37(1973), p. 754
  - 33) 大森靖也, 他: 鉄と鋼, 62(1976), p. 1017, 邦武立郎, 他: 鉄鋼基礎共同研究会, “強度と靱性部会シンポジウム”(1974)
  - 34) F. B. PICKERING: 鋼の強靱性, (1971) 9, Kyoto
  - 35) J. M. KRAFT and G. R. IRWIN: ASTM STP, 381(1964), p. 114
  - 36) 池田一夫: 西山記念技術講座, 15 “溶接構造物の脆性破壊”
  - 37) 越賀房夫, 他: 造船協会論文集, 114(1963), p. 200
  - 30) 井上 泰: 未発表
  - 39) H. KASHIMURA, et al.: Metal Progress, 110 (1976), p. 58
  - 40) 長谷部茂雄: 鉄と鋼, 62(1976), p. 875
  - 41) 池田一夫, 他: 溶接学会誌, 46(1977), 875
  - 42) 木原博, 他: 日本造船学会論文集, 125 (1969), p. 247
  - 43) T. KANAZAWA, H. YAJIMA, and K. ANDO: IIW Dec No X814-76 (1976)
  - 44) 日本造船研究協会. 第147研究部会(金沢主査) 報告
  - 45) 萩原行人, 他: 溶接学会(1976)秋期講演大会
  - 46) J. D. HARRISON: Offshore Tech. Conference (173) No. 1909